

(株) 鶴池組 正員 ○篠田 審二  
鹿島大学工学部 正員 藤井 清司

まえがき 初期地山圧が作用していいる粘弹性地山に逐次開削の順序が異なる幾つかの工法で馬蹄形トンネルを施工する際、その過程においてロックボルトを使用する場合、まだ使用しない場合について、トンネル周辺地山内応力状態がどのように変化するかを知るために有限要素法による粘弹性解析を行い、あわせて  $\epsilon(t)/\sigma_0$  ( $\text{cm}^2/\text{kg}$ ) に有限要素法による粘弹性解析を行った。Fig. 1 は要素 Vugt モデル表示の一軸クリープ限界の塑性直線と実験式の比較であり、よく一致している。本解析に必要な三軸状態の緩和限界は、クリープ試験時のボアソン比  $v(t)$  を用いて三軸クリープ関数を求めた後、Vugt モデルと Maxwell モデルの等価性により求め、モデルの諸定数を Table 1 に示す。

次に、トンネルの逐次開削の有限要素法解析との取り扱いは、開削を開削予定面上での地山の解放とみなし、ある開削段階で形成する自由面上の節点での応力を周辺要素の平均値として求め、その符号を変えながらの解放応力とする。そして開削に必要な算術節点外力は開削面上の節点間での解放応力の線形変化を考慮して求める。

解析手順は、上述の節点外力による残存していいる地山の応力状態を弾性計算し、開削前の応力状態に基づき合せても開削直後の応力状態とする。以後粘弹性変形による応力変化を離散化法で計算していく。ニニでは複数時間間隔を 1 日として 15 日間(15 ステージ)の解析であり、1 ステージで初期地山応力状態を弾性計算した後直ちに最終の開削を弾性計算して応力再配分し、10 ステージごとにトンネルが完全に開削されるものとする。

地山材料は単位体積重量  $2.0 \text{ t/m}^3$  をもち、水平な地表から  $135 \text{ m}$  の深さに中心をもつアーチ半径  $5 \text{ m}$ 、側壁  $5 \text{ m}$ 、底盤  $10 \text{ m}$  の馬蹄形トンネルの逐次開削であり、Fig. 2 に示す 3 種類の開削順序を平面ひずみ問題として解析をする。要素分割は深さ  $235 \text{ m}$ 、幅  $200 \text{ m}$  の範囲の地山を 558 墓素、287 節点としてある。

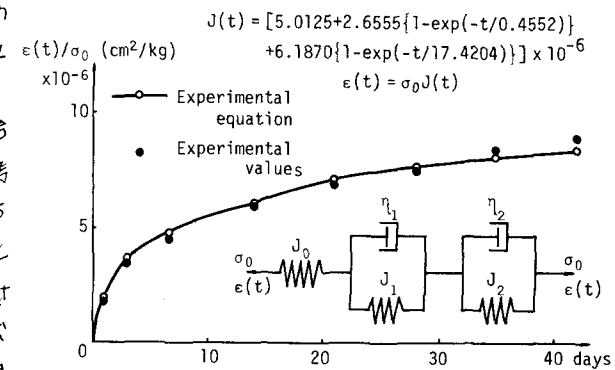


Fig. 1 Creep compliance.

Table 1 Viscoelastic parameters of relaxation function.

Parameter of Shear modulus	Average value	Parameter of Bulk modulus	Average value
$G_0$	$3.020 \times 10^4 \text{ kg/cm}^2$	$K_0$	$3.929 \times 10^4 \text{ kg/cm}^2$
$G_1$	$2.976 \times 10^4 \text{ kg/cm}^2$	$K_1$	$3.872 \times 10^4 \text{ kg/cm}^2$
$G_2$	$2.376 \times 10^4 \text{ kg/cm}^2$	$K_2$	$3.091 \times 10^4 \text{ kg/cm}^2$
$T_{g1}$	0.2953 day	$T_{k1}$	0.2953 day
$T_{g2}$	9.7087 day	$T_{k2}$	9.7087 day

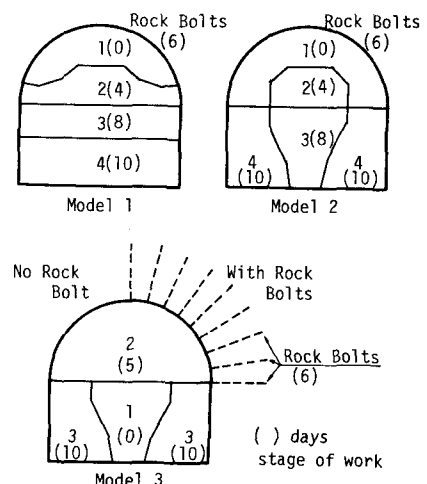


Fig. 2 Excavation methods of the models.

ロックボルト支保工の締め付け力は1トンに当り750 kN/cm<sup>2</sup>とし、トンネルアーチを10年分する放射方向に17本挿入する。解析上、ロックボルトの挿入はトンネル上部半断面が開削された後、瞬時に17本全部を挿入して、ロックボルトの締め付け力は挿入後一定に管理され、このものとする。

解析結果と考察 Fig.3はモデル3のトンネル周辺の代表的な要素の最大主応力PS1、最小主応力PS2の経日変化を示し、ロックボルトのある場合は挿入以後を破線とする。このモデル3ではモデル1、2と異なり、頂部中央で引張应力が生じてない。これは底設導坑のため開削より大きな影響を受ける導坑頂部に引張が生じ、二の部分は後になびて取り除かれ、またその時点では地山の应力緩和が大きく進んでいて頂部中央に影響をおよぼさないためである。

図表4はトンネルの右半断面のトンネル頂部中央から底面中央までの壁面を直線表示し、各要素の重心位置関係を縮小して縦軸にとり、横軸に最大主応力をと、で結んだ図である。図中の各線は三つの数字の組み合わせ(現時間段階のステージ数)。遮水開削の掘削部分の番号(下図2に対応)。1か2の中、2であればその線は開削あるいはロックボルトの挿入直後であり太線とし、1はそれ以外の場合で細線で区別する。によ、でどんな状態かを表す。モデル1は最初の開削によってスプリングライン(S.L.)よりやや上方に最大圧縮力を生じており、これはモデル2の方が顕著である。ロックボルトの繰りかけ効果はいずれも認められると、特にモデル1、2ではその効果として確かに引張領域を小さくし、アーチ部ではロックボルト挿入によってS.L.から上方へ方向角17°へ移動する。S.L.より下方では急激にロックボルトの挿入の影響が小さくなっている。このことはモデル3にも共通している。

113. \*参考文献 藤田、藤井“ロットボルトを設置してトンネル周辺地  
山の早期依存挙動について”, S51 中四土木学会年譲.

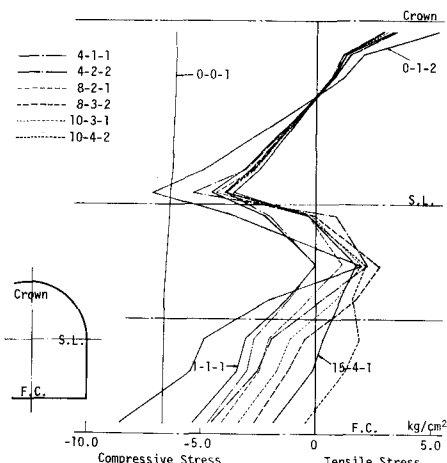


Fig.4 (a) Model-1 No Rock Bolt.

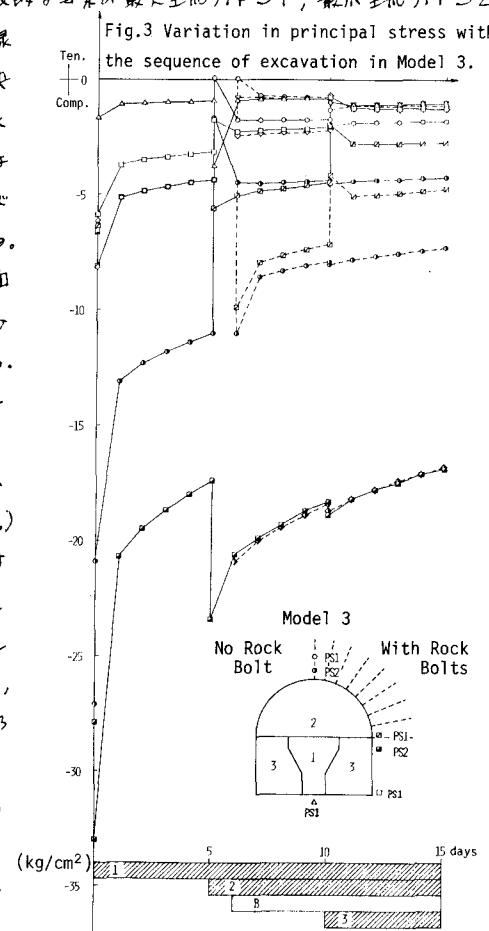


Fig. 4 (b) Model-1 With Rock Bolts.